



УДК 547.963.057:577.34

## ФОТОРЕАКЦИОННОСПОСОБНЫЙ АНАЛОГ 2',3'-ДИДЕЗОКСИУРИДИН-5'-ТРИФОСФАТА: ПОЛУЧЕНИЕ И ИСПОЛЬЗОВАНИЕ ДЛЯ ФОТОАФФИННОЙ МОДИФИКАЦИИ ФАКТОРА РЕПЛИКАЦИИ А ЧЕЛОВЕКА

© 2000 г. Д. М. Колпащиков, Л. А. Александрова\*, Н. Ф. Закирова\*,  
С. Н. Ходырева, О. И. Лаврик<sup>#</sup>

Новосибирский институт биоорганической химии СО РАН,  
630090, Новосибирск, просп. Акад. Лаврентьева, 8;

\*Институт молекулярной биологии им. В.А. Энгельгардта РАН, Москва

Поступила в редакцию 23.02.99 г. Принята в печать 21.07.99 г.

Осуществлен синтез нового реагента для фотоаффинной модификации биополимеров 5-[транс-N-(2-нитро-5-азидобензоил)-3-аминопропенил-1]-2',3'-дидезоксиуридин-5'-трифосфата (NAB-ddUTP). Показано, что данный аналог, как и ранее описанное аналогичное производное 2'-дезоксиуридин-5'-трифосфата (NAB-dUTP), эффективно замещает dTTP в синтезе ДНК, катализируемом эукариотической ДНК-полимеразой  $\beta$ . При этом в присутствии NAB-ddUTP синтез ДНК терминируется  $5'$ - $^{32}$ P-Меченный праймер, содержащий фотореакционноспособную группу на 3'-конце, полученный с использованием NAB-ddUTP, был применен для фотоаффинного мечения репликативного белка A человека (RPA). Показано ковалентное присоединение p32- и p70-субъединиц RPA к меченным праймерам. NAB-ddUTP – перспективный инструмент для исследования взаимодействия белков репликативного комплекса с НК в клеточных экстрактах и живых клетках в условиях терминации синтеза ДНК.

**Ключевые слова:** фотоаффинная модификация; фотоактивируемые аналоги dNTP и ddNTP; эукариотическая ДНК-полимераза  $\beta$ ; репликативный белок A человека.

### ВВЕДЕНИЕ

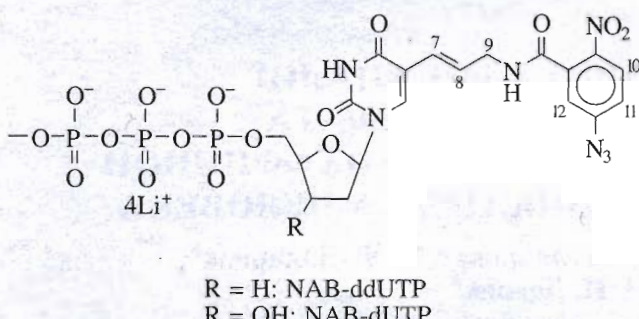
Ранее нами были получены аналоги dCTP и dUTP, несущие фотореакционноспособные арил-азидогруппы, присоединенные по эндоциклической аминогруппе цитозина и по 5-му положению урацила соответственно [1–5]. Данные аналоги оказались эффективными субстратами исследованных ДНК-полимераз и имели каталитические характеристики, близкие к природным dNTP, что было использовано для получения фотореакционноспособных праймеров *in situ* с целью их последующего применения для аффинной модификации ДНК-полимераз [3–11], ДНК-матриц в комплексе с ДНК-полимеразами [10], а также факторов репликации [9]. Разработанный подход “мечение *in vitro*” был использован для идентификации компонентов репликативного комплекса в ядерном экстракте миксомицета *Physarum polycephalum* [11].

Фотохимические характеристики аналогов позволяют проводить УФ-облучение в области, где не происходит фотоинактивации белков и нуклеиновых кислот (>300 нм) [1, 3]. В то же время естественная способность многих ДНК-полимераз к ошибочному введению в ДНК остатков нуклеотидов не позволяла для некоторых ДНК-полимераз найти условия строгой терминации роста цепи при использовании праймера с фотореакционноспособной группой, введенной в 3'-конец [3, 10]. Определение этих условий является совершенно необходимым для того, чтобы избежать ошибочного включения фотореакционноспособной группы в продукты синтеза ДНК, а затем и в продукты модификации белков, взаимодействующих с ДНК. Таким образом, введение фотореакционноспособного остатка в определенную позицию новосинтезированной ДНК имеет большое значение для изучения как репликативных систем *in vitro*, так и на уровне клеточных органелл. С этой целью можно использовать аналоги дидезоксинуклеотидов. Так, аналог ddUTP, содержащий в качестве фотореакционноспособной группы 4-(3-трифторметил-3Н-диазирин)стирильный остаток, был применен ранее для аффинной

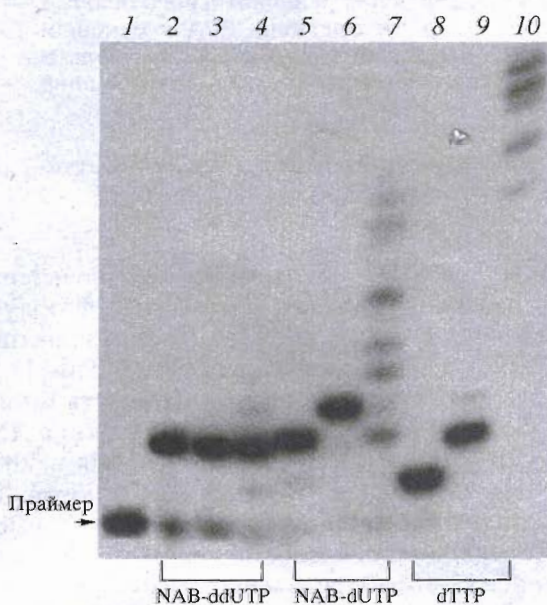
Сокращения: RPA – репликативный белок A человека; NAB-dUTP и NAB-ddUTP – 5-[транс-N-(2-нитро-5-азидобензоил)-3-аминопропенил-1]-производное 2'-дезоксиуридин-5'-трифосфата (литиевая соль) и 2',3'-дидезоксиуридин-5'-трифосфата (литиевая соль).

<sup>#</sup> Автор для переписки (тел.: (383-2) 34-42-96; факс: (383-2) 33-36-77; e-mail: lavrik@niboch.nsc.ru).

модификации обратной транскриптазы вируса иммунодефицита человека [12].



В настоящей работе синтезирован аналог ddUTP, содержащий фотопримакционноспособную 2-нитро-5-азидобензоильную группу, введенную по 5-му положению уриду через аминопропенильный линкер (NAB-ddUTP). Исследована его субстратная активность в реакции синтеза ДНК, катализируемой эукариотической ДНК-полимеразой  $\beta$  (далее полимераза  $\beta$ ). Проведена фото-



**Рис. 1.** Проверка субстратных свойств NAB-ddUTP, NAB-dUTP и dTTP в реакции синтеза ДНК, катализируемой полимеразой  $\beta$ . Реакционные смеси помимо стандартных компонентов (см. "Эксперимент. часть") содержали NAB-ddUTP (2–4), NAB-dUTP (5–7), dTTP (8–10). После инкубации (20 мин, 25°C) к реакционным смесям добавляли dATP (3, 6, 9) либо смесь dCTP, dGTP, dATP (4, 7, 10) до концентрации каждого 10 мкМ и инкубировали дополнительное 20 мин при 25°C. Затем реакционные смеси обрабатывали 10 мкл 90% формамида, содержащего 50 мМ EDTA и 0.1% бромфеноловый синий, и выдерживали в течение 3 мин при 80°C. Продукты ковалентного присоединения идентифицировали разделением электрофорезом в 20% ПААГ в денатурирующих условиях с последующей радиоавтомографией.

аффинная модификация RPA ДНК-дуплексом, содержащим на 3'-конце фотопримакционноспособный остаток термирующего нуклеотида.

## РЕЗУЛЬТАТЫ И ОБСУЖДЕНИЕ

Аналог NAB-ddUTP был получен согласно методике, описанной ранее для синтеза NAB-dUTP [1]. Структура соединения подтверждена данными УФ-,  $^1\text{H}$ - и  $^{31}\text{P}$ -ЯМР-спектроскопии. Субстратная активность NAB-ddUTP в реакции элонгации 5'- $^{32}\text{P}$ -меченого 16-звенного праймера, катализируемой полимеразой  $\beta$ , исследована в присутствии 36-звенного олигонуклеотида-матрицы. Показано, что NAB-ddUTP является примерно в 20–25 раз более плохим субстратом для полимеразы  $\beta$ , чем NAB-dUTP и dTTP ( $V_{max}/K_m$   $1.3 \times 10^{-5}$ ,  $2.8 \times 10^{-4}$ ,  $3.3 \times 10^{-4} \text{ c}^{-1}$  соответственно). Из картины анализа продуктов удлинения праймера в присутствии NAB-ddUTP (рис. 1, 2, 3, 4), NAB-dUTP (5, 6, 7) и dTTP (8, 9, 10) видно, что в присутствии как dTTP (8), так и аналогов (2, 5) формируется только один продукт удлинения праймера. При добавлении в реакционную смесь dATP, комплементарного следующему основанию матрицы, в случае NAB-ddUTP не наблюдается дополнительных продуктов удлинения праймера (3), тогда как в присутствии NAB-dUTP и dTTP образуется праймер, удлиниенный на два нуклеотида (6, 9). Аналогичная картина получена при добавлении в реакционную смесь трех недостающих природных нуклеотидов (4, 7, 10). Таким образом, NAB-ddUTP действительно является термирующим субстратом для полимеразы  $\beta$ .

Ранее нами показано, что фактор репликации А человека взаимодействует с ДНК-дуплексом, имеющим участок матрицы, выступающий за 3'-конец праймера. Остаток NAB-dUTP вводился в 3'-конец праймера с помощью ДНК-полимераз, последующее УФ-облучение приводило к его ковалентному присоединению к средней по молекулярной массе субъединице RPA (32 кДа), а также и к более тяжелой субъединице (70 кДа) [9]. Поскольку было продемонстрировано, что взаимодействие RPA с растущей нитью ДНК происходит также на уровне хроматина [13], то представляло интерес оценить чувствительность RPA к отсутствию 3'-концевой гидроксильной группы.

На рис. 2 представлен радиоавтомограф геля, полученного после электрофоретического разделения продуктов модификации полимеразы  $\beta$  и RPA фотопримакционноспособным 5'- $^{32}\text{P}$ -меченым праймером, содержащим на 3'-концевом нуклеотиде 2-нитро-5-азидобензоильный остаток. Видно, что как в случае NAB-dUTP (1–5, 7), так и в случае NAB-ddUTP (6, 8–12), в отсутствие RPA при облучении УФ-светом мечению подвергалась полиме-

раза  $\beta$  (3, 9), а в присутствии RPA также и p70-, и p32-субъединицы RPA (4, 10). Если же в реакционные смеси после инкубации с аналогами были добавлены три недостающих природных нуклеотида и смеси инкубированы дополнительно в условиях синтеза ДНК, то в случае NAB-ddUTP картина мечения не изменялась (11, 12), тогда как в присутствии NAB-dUTP наблюдались радиоактивно меченные продукты с молекулярной массой в области 14 кДа (5, 7), которые могли образоваться в результате ковалентного присоединения праймера к матрице. При этом происходило уменьшение интенсивности мечения как полимеразы  $\beta$ , так и RPA.

Таким образом, новый фотопримонноспособный терминирующий аналог дезоксирибонуклеозид-5'-трифосфата может быть использован в качестве субстрата ДНК-полимеразы  $\beta$  для строго селективной остановки роста новосинтезируемой цепи ДНК. Особенный интерес представляет использование подобного аналога в ядерных и клеточных экстрактах. Поскольку при исследовании таких систем возникает необходимость добавления других dNTP (в том числе меченных  $^{32}$ P по  $\alpha$ -фосфату), в результате чего фотопримонноспособные аналоги статистически распределяются по новосинтезированной ДНК, это усложняет картину мечения [11]. Применение же терминирующих аналогов, несущих фотопримонноспособную группу, позволит более точно выявлять белки, взаимодействующие с 3'-концом растущей ДНК.

## ЭКСПЕРИМЕНТАЛЬНАЯ ЧАСТЬ

В работе использовали следующие реагенты: нерадиоактивные дезоксирибонуклеозид-5'-трифосфаты (Сибэнзим, Новосибирск), [ $\gamma$ - $^{32}$ P]ATP (Биосан, Новосибирск), маркеры молекулярной массы Rainbow (Amersham), T4-полинуклеотидкиназу (New England Biolabs), трисгидроксиметиламинометан (Трис), изопропил- $\beta$ -D-тиогалактозид (IPTG), ампциллин (Sigma), лизоцим (Boeringer Mannheim), MgCl<sub>2</sub>, KCl, KSCN (все отечественного производства квалификации "ос. ч."),  $\beta$ -меркаптоэтанол, NP-40, пептон, дрожжевой экстракт (Fluka), DEAE-toyopearl, SP-toyopearl (Toyo-Soda), одноцепочечную ДНК-целлюлозу (USB-Amersham), гепаринсепарозу (Pharmacia). Олигонуклеотиды: 36-звенная матрица (5')GGTTCGATATCG-TAGTTCTAGTGTATAAGCCCCCTACC, 16-звенный праймер (3')CACATATCGGGGATGG синтезированы в институте Жака Моно (Париж). Плазмида pRSET, содержащая ген ДНК-полимеразы  $\beta$  крысы, и штамм *E. coli* BL21 (DE 3) pLysE для экспрессии белка были любезно предоставлены проф. С. Вилсоном (NIEHS, Сев. Каролина, США). RPA был любезно предоставлен К. Вайссхартом (IMB,

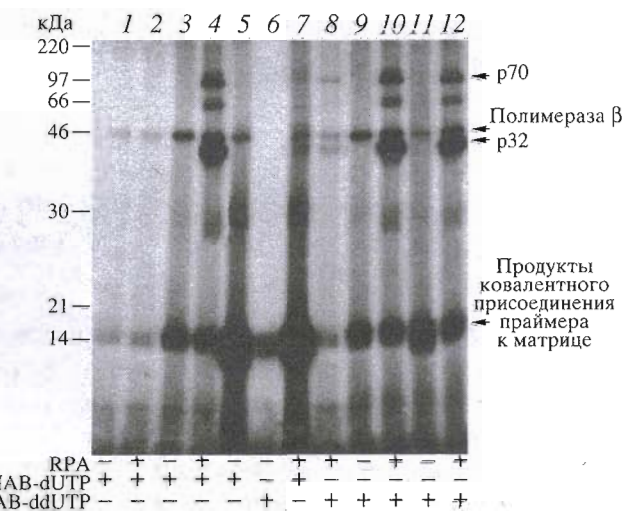


Рис. 2. Фотоаффинное мечение полимеразы  $\beta$  и RPA с использованием NAB-dUTP и NAB-ddUTP. Все реакционные смеси содержали 5'- $^{32}$ P-меченный праймер-матрицу, 1.4 мкМ полимеразу  $\beta$ ; другие стандартные компоненты указаны в "Эксперимент. части". Кроме того, реакционные смеси содержали 10 мкМ NAB-dUTP (1–5, 7) либо NAB-ddUTP (6, 8–12), а также 0.7 мкМ RPA (2, 4, 7, 8, 10, 12). После завершения удлинения праймера (20 мин, 25°C) в реакционные смеси (4, 5, 11, 12) добавляли смесь dGTP, dATP, dCTP до концентрации каждого 10 мкМ и инкубировали 20 мин при 25°C. Реакционные смеси (3–5, 7, 9–12) облучали 15 мин УФ-светом с длиной волны 315 нм, добавляли к ним 10 мкл буфера Лэммли и разделяли 12% ПААГ-электрофорезом с последующей радиоавтомографией.

Йена). 5-(3-Аминопропенил-1)-2',3'-дидезоксиуридин-5'-трифосфат получали как описано ранее [14].

Спектры  $^1$ H- и  $^{31}$ P-ЯМР регистрировали на спектрометре WP-200 (Bruker, Германия) с рабочей частотой 200 и 81 МГц соответственно при температуре 20°C в D<sub>2</sub>O с использованием внешнего стандарта тетраметилсилана и 85% фосфорной кислоты соответственно; приведены химические сдвиги в миллионных долях и КССВ в герцах. УФ-спектры записывали на спектрофотометре Specord UV/VIS M-40 (Германия).

ТСХ проводили на пластинках Kieselgel 60 F<sub>254</sub> (Merck) в смеси растворителей: изопропанол–25% водн. NH<sub>3</sub>–вода, 7 : 1 : 2 (система А) и на пластинках PEI-Cellulose F (Merck) в 1 М K<sub>2</sub>HPO<sub>4</sub> (рН 8.0) в 10% этанол–вода–диоксан, 1 : 3 : 2 (система Б).

**5-[транс-N-(2-Нитро-5-азидобензоил)-3-аминопропенил-1]-2',3'-дидезоксиуридин-5'-трифосфат (NAB-ddUTP)** был получен из 5-(3-амино-пропенил-1)-2',3'-дидезоксиуридин-5'-трифосфата в соответствии с методикой, описанной для синтеза NAB-dUTP [1]. Выход 1.4 мг (91%). Продукт индивидуален по данным ТСХ,  $R_f$  0.33 (А), 0.35 (Б). УФ-спектр (H<sub>2</sub>O):  $\lambda_{\text{max}}$ , нм ( $\epsilon$ , М<sup>-1</sup> см<sup>-1</sup>) 304

(13900),  $\lambda_{\min}$  267 (11100),  $^{31}\text{P}$ -ЯМР,  $\delta$ : -9.2 (д, 1P,  $P_y'$ ,  $J_{P\beta}$  23); -10.8 (д, 1P,  $P^\alpha$ ,  $J_{P\beta}$  23); -22.3 (дд, 1P,  $P^\beta$ ,  $J_{P\alpha, P_y}$  20);  $^1\text{H}$ -ЯМР,  $\delta$ : 1.90–2.06 (м, 3H, H2'b, H3'a,b); 2.30 (м, 1H, H2'a); 3.98 (м, 3H, H9, H5'b); 4.12 (м, 1H, H5'a); 4.25 (м, 1H, H4'); 5.98 (дд, 1H, H1',  $J_{H2'a}$  7 и  $J_{H2'b}$  4); 6.28–6.44 (м, 2H, H7, H8); 7.16 (д, 1H, H12,  $J_{H11}$  2.5); 7.19 (дд, 1H, H11,  $J_{H10}$  8.5 и  $J_{H12}$  2.5); 7.80 (с, 1H, H6); 8.15 (д, 1H, H10,  $J_{H11}$  8.5).

**Полимераза  $\beta$**  (КФ 2.7.7.7) получена в основном как описано в работе [15]. Клетки *E. coli* BL21 (DE 3) pLysE, содержащие плазмиду с геном полимеразы  $\beta$  крысы, выращивали при 37°C в среде LB, содержащей ампциллин (100 мкг/мл), до оптического поглощения 0.6 ОЕ<sub>600</sub>, затем добавляли IPTG до конечной концентрации 0.5 мМ. Клетки дополнительно инкубировали в течение 4 ч при интенсивной аэрации. Для разрушения клеток использовали метод 2, приведенный в работе [15] с дополнительным озвучиванием для деградации ДНК. Полимеразу  $\beta$  выделяли с помощью последовательных хроматографических процедур на гепаринсепарозе, одноцепочечной ДНК-целлюлозе, SP-toyopearl.

**Субстратные свойства NAB-ddUTP** проверяли в реакции синтеза ДНК, катализируемой полимеразой  $\beta$ . Реакционная смесь объемом 10 мкл содержала следующие стандартные компоненты: 10 мкМ dNTP или их аналоги, 0.5 мкМ 5'-<sup>32</sup>P-меченный праймер-матрицу и 1.4 мкМ полимеразу  $\beta$ , 50 мМ Трис-HCl (рН 7.8), 10 мМ MgCl<sub>2</sub>, 50 мМ KCl. Концентрация RPA в реакционной смеси была 0.5 мкМ. Продукты реакции анализировали электрофорезом в 20% ПААГ в денатурирующих условиях [16].

**Эксперименты по фотоаффинной модификации.** После завершения элонгации праймера (25°C, 20 мин) реакционные смеси (см. предыдущий раздел) облучали УФ-светом с длиной волны 315 нм 15 мин с использованием монохроматора Bausch и Lomb и лампы высокого давления (HBO W). Продукты модификации анализировали электрофорезом в 12% ПААГ по Лэммли [16] с последующей радиоавтографией.

## БЛАГОДАРНОСТИ

Авторы благодарят Н.А. Лебедеву за техническую помощь. Работа поддержана грантами РФФИ № 99-04-49277, 98-04-49718, 98-03-32930 и грантом ИНТАС № 96-1778.

## СПИСОК ЛИТЕРАТУРЫ

- Wlassoff W.A., Dobrikov M.I., Safronov I.V., Dudko R.Y., Bogachev V.S., Kandaurova V.V., Shishkin G.V., Dymshits G.M., Lavrik O.I. // Bioconjugate Chem. 1995. V. 6. P. 352–360.
- Godovikova T.S., Kolpashchikov D.M., Orlova T.N., Richter V.A., Ivanova T.M., Grochevsky S.L., Nasedkina T.V., Poletaev A.I. // Bioconjugate Chem. 1999. V. 10. P. 529–537.
- Колпащиков Д.М., Захаренко А.Л., Дежуров С.В., Речкунова Н.И., Ходырева С.Н., Дегтярев С.Х., Литвак В.В., Лаврик О.И. // Биоорган. химия. 1999. Т. 25. С. 129–136.
- Dobrikov M.I., Doronin S.V., Safronov I.V., Shishkin G.V., Lavrik O.I. // Chem. Sustainable Dev. 1994. V. 2–3. P. 529–534.
- Сафронов И.В., Щербик Н.В., Ходырева С.Н., Власов В.А., Добриков М.И., Шишкун Г.В., Лаврик О.И. // Биоорган. химия. 1997. Т. 23. С. 576–585.
- Doronin S.V., Dobrikov M.I., Lavrik O.I. // FEBS Lett. 1992. V. 313. P. 31–33.
- Doronin S.V., Dobrikov M.I., Buckle M., Roux P., Bis H., Lavrik O.I. // FEBS Lett. 1994. V. 354. P. 200–202.
- Щербик Н.В., Ходырева С.Н., Власов В.А., Добриков М.И., Дымшиц Г.М., Лаврик О.И. // Молекуляр. биология. 1997. Т. 31. С. 344–352.
- Lavrik O.I., Prasad R., Beard W.A., Safronov I.V., Dobrikov M.I., Srivastava D.K., Shishkin G.V., Wood T.G., Wilson S.H. // J. Biol. Chem. 1996. V. 271. P. 21891–21897.
- Захаренко А.Л., Ходырева С.Н., Речкунова Н.И., Сафронов И.В., Пышный Д.В., Дегтярев С.Х., Лаврик О.И. // Биохимия. 1998. Т. 63. С. 1090–1096.
- Doerhoefer S., Khoyreva S., Safronov I.V., Wlassoff W.A., Anarbaev R., Lavrik O.I., Holler E. // Microbiology. 1998. V. 144. P. 3181–3193.
- Yamaguchi T., Saneyoshi M. // Nucl. Acids Res. 1996. V. 24. P. 3364–3369.
- Mass G., Nethanel T., Kaufmann G. // Mol. Cell. Biol. 1998. V. 18. P. 6399–6407.
- Дьяченко Л.Б., Ченчик А.А., Лукин М.А., Александрова Л.А., Краевский А.А., Бибилашвили Р.Ш. // Молекуляр. биология. 1994. Т. 28. С. 102–112.
- Date T., Yamaguchi M., Hirose F., Nishimoto Y., Tanibara K., Matsukage A. // Biochemistry. 1988. V. 27. P. 2983–2990.
- Laemmli U.K. // Nature. 1970. V. 227. P. 680–685.

**The Preparation of a Photoreactive Analogue  
of 2',3'-Dideoxyuridine 5'-Triphosphate and Its Use  
for Photoaffinity Modification of Human Replication Protein A**

D. M. Kolpashchikov\*, L. A. Alexandrova\*\*,  
N. F. Zakirova\*\*, S. N. Khodyreva\*, and O. I. Lavrik\*#

\*Novosibirsk Institute of Bioorganic Chemistry, Siberian Division, Russian Academy of Sciences,  
pr. Akademika Lavrent'eva 8, Novosibirsk, 630090 Russia

\*\*Engelhardt Institute of Molecular Biology, Russian Academy of Sciences, ul. Vavilova 32, GSP-1 Moscow, 117984 Russia

A new reagent for photoaffinity modification of biopolymers, 5-[E-N-(2-nitro-5-azidobenzoyl)-3-amino-1-propen-1-yl]-2',3'-dideoxyuridine 5'-triphosphate (NAB-ddUTP), was synthesized. Like a similar derivative of 2'-deoxyuridine 5'-triphosphate (NAB-dUTP), it was shown to be able to effectively substitute for dTTP in the synthesis of DNA catalyzed by eukaryotic DNA polymerase  $\beta$  and to terminate DNA synthesis. A 5'- $^{32}$ P-labeled primer with a photoreactive group at the 3'-terminus was derived from NAB-ddUTP and used for photoaffinity labeling of the human replication protein A (RPA). The covalent attachment of RPA p32 and p70 subunits to the labeled primers was demonstrated. NAB-ddUTP is a promising tool for studying the interaction of proteins of the replicative complex with NA in cellular extracts and living cells during the termination of DNA synthesis.

**Key words:** eukaryotic DNA polymerase  $\beta$ , human replication protein A, photoactivatable dNTP and ddNTP analogues, photoaffinity modification

---

# To whom correspondence should be addressed; phone: +7 (383-2) 34-4296; fax: +7 (383-2) 33-3677;  
e-mail: lavrik@niboch.nsc.ru.

For the full text of English translation of this article, see *Russian Journal of Bioorganic Chemistry*, 2000, vol. 26, no. 2. It is also available (free) in PDF format through the Web Site <http://www.maik.rssi.ru/>.